

Влияние кулоновских корреляций на неравновесный квантовый транспорт в системе из четырех квантовых точек

М. Ю. Каган^{+*1)}, С. В. Аксенов[#]

⁺Институт физических проблем им. П.Л. Капицы РАН, 119334 Москва, Россия

^{*}Национальный исследовательский университет Высшая школа экономики, 101000 Москва, Россия

[#]Институт физики им. Л.В. Киренского, ФИЦ КИЦ СО РАН, 660036 Красноярск, Россия

Поступила в редакцию 16 марта 2018 г.

В работе предлагается описание квантового транспорта в системе из четырех квантовых с учетом кулоновских корреляций и при ненулевых напряжениях смещения. Для этого применено сочетание методов неравновесных функций Грина и уравнений движения для них. Показано, что анизотропия кинетических процессов в системе точек приводит к отрицательной дифференциальной проводимости (ОДП). Причина этого эффекта заключается во взаимодействии резонансов Фано, индуцированных кулоновскими корреляциями электронов на разных точках. Обсуждаются различные варианты увеличения отношения пик/долина, связанного с обнаруженным эффектом ОДП.

DOI: 10.7868/S0370274X1808009X

1. Развитие технологий в последние десятилетия сделало возможным экспериментальное исследование систем квантовых точек, каждая из которых содержит небольшое число электронов [1, 2]. В этих структурах контроль заселенности каждой точки, а также взаимодействие между точками осуществляется за счет действия полей электродов затвора. Учитывая относительно долгое время жизни спинового состояния отдельного электрона, спинового кубита, в полупроводниковой квантовой точке, эти объекты выглядят привлекательными с позиций хранения и обработки квантовой информации [3, 4]. Исследование комплексов квантовых точек в этом направлении необходимо для создания масштабируемой архитектуры спиновых кубитов [5, 6].

Ключевым фактором, определяющим различные многоэлектронные эффекты в системах квантовых точек, является кулоновское взаимодействие электронов как внутри отдельной точки, так и между соседними точками. Поскольку электрические поля затворов позволяют эффективно управлять параметрами туннелирования между точками, посадочными энергиями электронов и величинами кулоновских взаимодействий, системы квантовых точек могут быть использованы для изучения свойств модели Хаббарда [7].

На сегодняшний день возможна экспериментальная реализация структур из трех и четырех то-

чек различной топологии, когда точки располагаются в ряд или в форме многоугольника [8–10]. При этом геометрия расположения точек сказывается принципиальным образом на свойствах таких систем. В частности, в рамках модели Хаббарда при очень больших значениях кулоновского отталкивания электронов в точке, U , было показано, что наличие замкнутых путей для движения электронов делает возможным реализацию ферромагнитного порядка по сценарию Нагаоки [11, 12]. В частности, для четырехточечной структуры (ЧТС) с тремя электронами появление основного состояния со спином $S = 3/2$ объясняется наличием эффективного калибровочного поля, приводящего к увеличению энергии кирального состояния со спином $S = 1/2$. При рассмотрении транспортных задач этот эффект является одним из механизмов, инициирующих спиновую блокаду тока [13]. Переходы между состояниями с изменением числа электронов на единицу являются запрещенными, если спин этих состояний отличается больше, чем на $1/2$. Стоит заметить, что явление спиновой блокады также демонстрировалось ранее как для меньшего количества последовательно соединенных точек [14, 15], так и для отдельной многоуровневой точки [16]. Одним из его проявлений в наблюдаемых характеристиках является выпрямление тока и отрицательная дифференциальная проводимость (ОДП). Среди других механизмов подавления тока в системах квантовых точек можно выделить эффект

¹⁾e-mail: kagan@kapitza.ras.ru, asv86@iph.krasn.ru

где $g_{ij\sigma}(\tau - \tau')$ – затравочные функции Грина ЧТС. При выводе (4) и (5) рассматривался немагнитный случай, в частности, пренебрегалось спин-флип процессами, $\langle a_{i\sigma} a_{j\sigma}^+ \rangle = 0$. После перехода к интегрированию по реальному временному контуру и последующего преобразования Фурье имеем

$$I = i\Gamma \sum_{\sigma} \int_{-\infty}^{+\infty} d\omega \left[f_L (G_{11\sigma}^a - G_{11\sigma}^r) - G_{11\sigma}^{+-} \right], \quad (6)$$

где $f_L \equiv f(\omega + \frac{eV}{2})$ – фермиевская функция распределения; $\Gamma/2 = \Gamma_L = \Gamma_R = \pi t^2 g$ – параметр, характеризующий уширение уровней ЧТС за счет связи с контактом. Плотность состояний контакта в общем случае зависит от частоты и проекции спина, $g_{\sigma}(\omega) = \sum_k \delta(\omega - \xi_{k\sigma})$. Однако в настоящей работе мы воспользуемся приближением парамагнитных широкозонных металлических контактов, когда этими зависимостями можно пренебречь и положить $g = \text{const}$. При выводе (6) фурье-образы собственных энергетических функций $\Sigma_{\alpha\sigma}^r = -\frac{i}{2}\Gamma$ и $\Sigma_{\alpha\sigma}^{+-} = i\Gamma f_{\alpha}$.

Чтобы получить окончательное выражение, описывающее стационарный ток в системе, найдем функции Грина ЧТС, входящие в (6). Для этого воспользуемся методом уравнений движения. В силу определения $G_{i\sigma, j\sigma'}^{r, +-}(t - t')$ общий вид уравнений для $G_{i\sigma, j\sigma'}^r(\omega) \equiv \langle \langle a_{i\sigma} a_{j\sigma'}^+ \rangle \rangle^r$ и $G_{i\sigma, j\sigma'}^{+-}(\omega) \equiv \langle \langle a_{i\sigma} a_{j\sigma'}^+ \rangle \rangle^{+-}$ отличается,

$$z \langle \langle a_{i\sigma} a_{j\sigma'}^+ \rangle \rangle^r = \langle \{ a_{i\sigma}, a_{j\sigma'}^+ \} \rangle + \langle \langle [a_{i\sigma}, \hat{H}] a_{j\sigma'}^+ \rangle \rangle^r, \\ z \langle \langle a_{i\sigma} a_{j\sigma'}^+ \rangle \rangle^{+-} = \langle \langle [a_{i\sigma}, \hat{H}] a_{j\sigma'}^+ \rangle \rangle^{+-},$$

где $z = \omega + i\delta$. Кроме того, исходя из диаграммного разложения смешанной функции Грина, $G_{L(R)k\sigma}(t - t') = \int_C g_{L(R)k\sigma}(t - \tau) T_{L(R)}(\tau) G_{1(4)j\sigma}(\tau - t')$, имеем

$$z \langle \langle c_{L(R)k\sigma} a_{j\sigma}^+ \rangle \rangle^r = g_{L(R)k\sigma}^r t_{L(R)} \langle \langle a_{1(4)\sigma} a_{j\sigma}^+ \rangle \rangle^r, \\ z \langle \langle c_{L(R)k\sigma} a_{j\sigma}^+ \rangle \rangle^{+-} = \\ = t_{L(R)} \left(g_{L(R)k\sigma}^r \langle \langle a_{1(4)\sigma} a_{j\sigma}^+ \rangle \rangle^{+-} + \right. \\ \left. + g_{L(R)k\sigma}^{+-} \langle \langle a_{1(4)\sigma} a_{j\sigma}^+ \rangle \rangle^a \right),$$

где $g_{\alpha k\sigma}^r = (z - \xi_{k\sigma})^{-1}$, $g_{\alpha k\sigma}^{+-} = 2\pi i f_{\alpha} \delta(\omega - \xi_{k\sigma})$. Далее воспользуемся методом расщепления уравнений движения для немагнитного случая, развитым в работах [24–26] и применимым при температурах выше температуры Кондо [27]. В этом подходе расщепляются уравнения на функции Грина третьего порядка, например, $\langle \langle n_{3\sigma} n_{2\bar{\sigma}} a_{2\sigma} a_{j\sigma}^+ \rangle \rangle^{r, +-}$. В результате решения полученной системы для запаздывающих функций Грина, находим

$$G_{\beta\beta}^r = \frac{C_{\beta} Z_{\bar{\beta}}}{Z}, \quad G_{\beta\bar{\beta}}^r = \frac{C_{\beta} C_{\bar{\beta}} x_2}{Z}, \quad G_{\alpha\alpha}^r = \frac{C_{\alpha} \Delta_{\bar{\alpha}}}{Z}, \quad (7)$$

$$G_{\alpha\bar{\alpha}}^r = \frac{C_{\alpha} C_{\bar{\alpha}} \Delta_1}{Z}, \quad G_{\beta\alpha}^r = \frac{C_{\alpha} C_{\beta} T_{\bar{\beta}} P_{\alpha}}{Z}, \quad \beta(\alpha) = 1, 4(2, 3),$$

где $\Delta_{\alpha} = D_{\alpha} T_{\beta} T_{\bar{\beta}} - t^2(\alpha) C_{\alpha} S$, $\Delta_1 = t_0 T_{\beta} T_{\bar{\beta}} + t(\alpha) t(\bar{\alpha}) S$, $S = C_{\beta} T_{\bar{\beta}} + C_{\bar{\beta}} T_{\beta}$, $P_{\alpha} = t(\bar{\alpha}) D_{\alpha} + t_0 t(\alpha) C_{\alpha}$, $Z = T_{\beta} T_{\bar{\beta}} x_1 - S x_2$, $Z_{\beta} = T_{\beta} x_1 - C_{\beta} x_2$, $T_{\beta} = D_{\beta} + i\Gamma C_{\beta}/2$, $x_1 = \Delta_{\alpha} \Delta_{\bar{\alpha}} - t_0^2 C_{\alpha} C_{\bar{\alpha}}$, $x_2 = t(\alpha) C_{\alpha} P_{\alpha} + t(\bar{\alpha}) C_{\bar{\alpha}} P_{\alpha}$, $t(\alpha) = t_{1,2}$. Множители $C_{\alpha, \beta}$ и $D_{\alpha, \beta}$ содержат зависимость от чисел заполнения, корреляторов и интенсивностей кулоновских взаимодействий в явном виде: $C_{\alpha} = C_{\alpha 1} + C_{\alpha 2}$, $C_{\alpha 1} = b_{\alpha 4} (b_{\alpha 2} b_{\alpha 3} + U b_{\alpha 3} \langle n_{\alpha} \rangle + 2V b_{\alpha 2} \langle n_{\bar{\alpha}} \rangle)$, $C_{\alpha 2} = UV (b_{\alpha 2} + b_{\alpha 3}) (2 \langle n_{\alpha} \rangle \langle n_{\bar{\alpha}} \rangle - \langle a_{\alpha}^+ a_{\bar{\alpha}} \rangle^2)$, $C_{\beta} = b_{\beta 2} + U \langle n_{\beta} \rangle$, $D_{\alpha} = b_{\alpha 1} b_{\alpha 2} b_{\alpha 3} b_{\alpha 4}$, $D_{\beta} = b_{\beta 1} b_{\beta 2}$, $b_{\alpha 1} = z - \xi_{\alpha}$, $b_{\alpha 2} = b_{\alpha 1} - U$, $b_{\alpha 3} = b_{\alpha 1} - V (1 + \langle n_{\bar{\alpha}} \rangle)$, $b_{\alpha 4} = b_{\alpha 3} - U$. Отметим, что в формулах (7) для простоты опущены спиновые индексы, т.к. в немагнитном приближении $\langle a_{i\sigma}^+ a_{j\sigma} \rangle = \langle a_{i\bar{\sigma}}^+ a_{j\bar{\sigma}} \rangle$. В свою очередь, решение системы для функций Грина G_{ij}^{+-} дает

$$G_{\beta\beta(\bar{\beta})}^{+-} = i\Gamma \frac{C_{\beta} \left(f_{\beta} Z_{\bar{\beta}} G_{\beta\beta(\bar{\beta})}^a + f_{\bar{\beta}} C_{\bar{\beta}} x_2 G_{\beta\beta(\bar{\beta})}^a \right)}{Z}, \\ G_{\alpha\alpha(\bar{\alpha})}^{+-} = i\Gamma \frac{C_{\alpha} P_{\bar{\alpha}} \left(f_{\beta} C_{\beta} T_{\bar{\beta}} G_{\beta\alpha(\bar{\alpha})}^a + f_{\bar{\beta}} C_{\bar{\beta}} T_{\beta} G_{\beta\alpha(\bar{\alpha})}^a \right)}{Z}, \\ G_{\beta\alpha}^{+-} = i\Gamma \frac{C_{\beta} \left(f_{\beta} Z_{\bar{\beta}} G_{\beta\alpha(\bar{\beta})}^a + f_{\bar{\beta}} C_{\bar{\beta}} x_2 G_{\beta\alpha(\bar{\beta})}^a \right)}{Z}, \quad (8)$$

где $f_{\beta} = f_{L,R}$, $G_{ij}^a = (G_{ij}^r)^*$, $G_{ij}^{+-} = -(G_{ji}^{+-})^*$. Исходя из определения функций Грина, корреляторы и числа заполнения могут быть получены на основе самосогласованного решения следующих интегральных уравнений:

$$\langle n_i \rangle = 2 \int_{-\infty}^{+\infty} \frac{d\omega}{2\pi} G_{ii}^{+-}, \quad \langle a_i^+ a_j \rangle = 2 \int_{-\infty}^{+\infty} \frac{d\omega}{2\pi} G_{ji}^{+-}. \quad (9)$$

Подставляя полученные функции Грина в (6), находим окончательное выражение, описывающее ток в системе ЧТС,

$$I = 2e\Gamma^2 \int_{-\infty}^{+\infty} d\omega G_{14}^r G_{41}^a (f_L - f_R) = \\ = 2e\Gamma^2 \int_{-\infty}^{+\infty} d\omega \frac{C_1^2 C_4^2 x_2^2}{|Z|^2} (f_L - f_R). \quad (10)$$

Отметим, что множитель 2 в числителях формул (9) и (10) возникает в результате суммирования по проекции спина. В дальнейшем при расчетах все энергетические величины измеряются в единицах Γ . Кроме того, будет анализироваться режим сильной связи с контактами, когда $\Gamma = t_1$. При последующих расчетах одноэлектронные боковые точки предполагаются одинаковыми, $\xi_{1\sigma} = \xi_{4\sigma} = \varepsilon_D$, а для двух центральных точек разность посадочных энергий контролируется параметром Δ , $\xi_{2(3)\sigma} = \varepsilon_D \pm \Delta$.

4. Перейдем к описанию транспорта через ЧТС в неравновесном режиме. На рис. 2а и б представлены зависимости кондактанса и заселенности точек

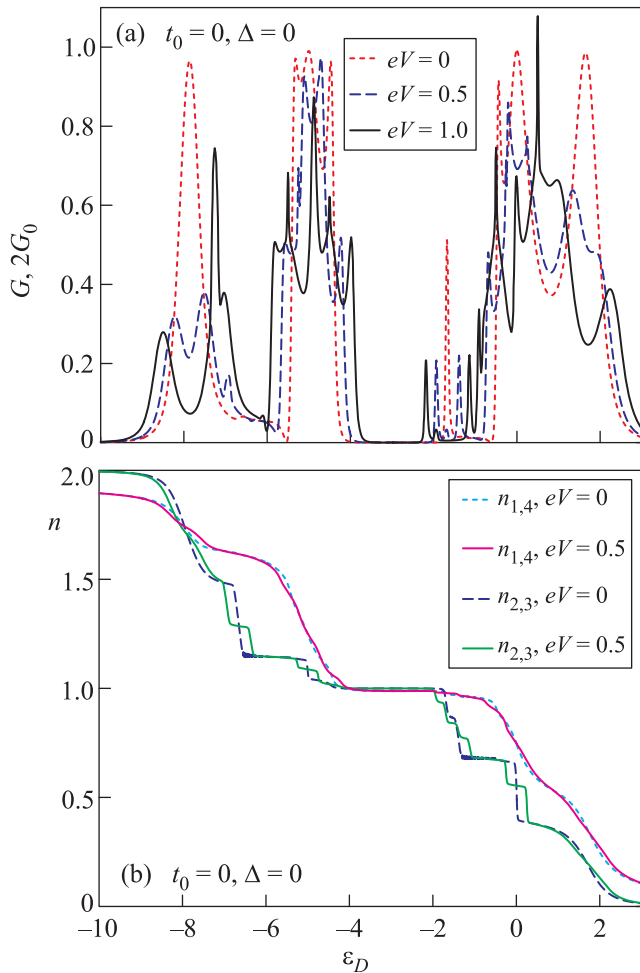


Рис. 2. (Цветной онлайн) Влияние напряжения смещения на зависимости проводимости (а) и чисел заполнения (б) от поля затвора для изотропной ЧТС. Параметры: $U = 5$, $V = 1$, $t_1 = t_2 = 1$, $t_0 = \Delta = 0$, $k_B T = 0.01$

от поля затвора для изотропного случая. Видно, что резонансы $G(\varepsilon_D)$ слева и справа от диэлектрической зоны, отвечающей половинному заполнению,

расщепляются по сравнению с равновесным режимом (см. штриховую кривую на рис. 2а). Это объясняется тем, что при $eV \neq 0$ прохождение электронов усиливается, если электронный уровень в ЧТС, управляемый параметром ε_D , совпадает с электрохимическим потенциалом левого или правого контакта, $\mu_{L,R} = \mu \mp \frac{eV}{2}$. Одновременно антирезонансы Фано в проводимости, возникающие за счет кулоновского взаимодействия между центральными точками, становятся отличными от нуля. При $eV = 0.5$ обе диэлектрические зоны, полученные в режиме линейного отклика [25], сохраняются. Однако дальнейший рост напряжения смещения приводит к уменьшению их ширин (см. сплошную кривую на рис. 2а). Кроме того, возрастание роли эффектов неравновесности приводит к выходу за пределы применимости формулы Ландауэра–Бюттикера. В результате, для некоторых значений поля затвора $G > 2G_0$ при $\Gamma \sim U, V$. Ступеньки чисел заполнения также расщепляются при $eV \neq 0$, что особенно заметно на примере заселенностей двух внутренних точек, $n_{2,3}$ (см. рис. 2б). При этом каждому скачку соответствует резонанс кондактанса.

Обратимся к анизотропной ситуации, когда $t_1 \neq t_2$. На рис. 3а представлена модификация зависимости кондактанса от поля затвора в этом режиме при включении напряжения смещения. Видно, что учет анизотропии кинетических процессов в ЧТС приводит к возникновению антирезонансов проводимости с отрицательными значениями. На рис. 3б пунктирной кривой показана вольт-амперная характеристика (ВАХ) в поле затвора $\varepsilon_D = -0.82$, соответствующем антирезонансу наибольшей амплитуды на рис. 3а. Эта ВАХ имеет четыре участка, где поведение дифференциальной проводимости существенно отличается. При энергиях поля исток-сток $|eV| \lesssim 0.75$ ток практически не растет аналогично эффекту кулоновской блокады. При $0.75 \lesssim |eV| \lesssim 1$ наблюдается существенный рост, сменяющийся резким спадом при $|eV| \approx 1$ с узкой долиной. При $1 \lesssim |eV| \lesssim 1.5$, также как и на втором участке, ток нарастает. Отношение пик/долина в данном случае ~ 1.4 . Схожий сценарий наблюдается и при заполнении ЧТС, большим половинного (см. штриховую кривую на рис. 3б). Отношение пик/долина можно повысить, если дополнительно учесть перескок между центральными точками и сделать разными их посадочные энергии с помощью системы из нескольких электродов затвора. Отвечающая данному случаю ($t_0 \neq 0$, $\Delta \neq 0$) ВАХ изображена сплошной кривой на рис. 3б. В данном случае долина более широкая, а отношение пик/долина ~ 1.9 . При рассмотре-

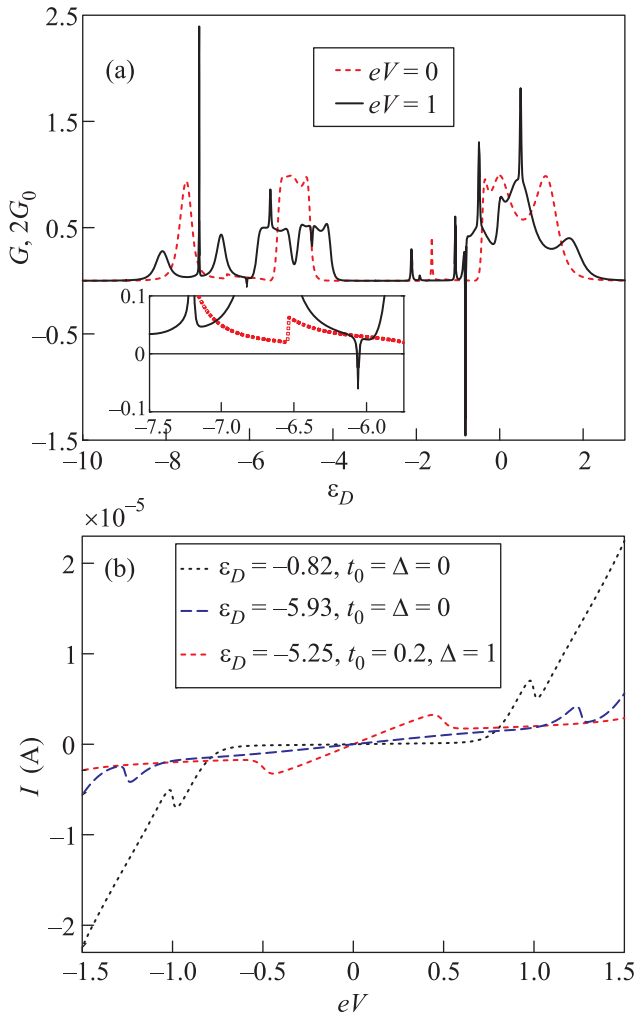


Рис. 3. (Цветной онлайн) Особенности транспортных свойств анизотропной ЧТС. (а) – Зависимость проводимости от поля затвора. На вставке: антирезонанс Фано и его расщепление при $eV \neq 0$. (б) – Вольт-амперные характеристики. Параметры: $U = 5$, $V = 1$, $t_1 = 1$, $t_2 = 0.1$, $t_0 = \Delta = 0$, $k_B T = 0.01$

нии Т-образной геометрии ЧТС ($t_2 = 0$) отношение пик/долина ~ 2.6 . В режиме $\Gamma \ll U, V$ и тех же соотношениях между параметрами перескока t_1, t_2, t_0 , что и на рис. 3, отношение становится ~ 4 (последние два случая не представлены на рис. 3).

Обнаруженный эффект ОДП связан с особенностями поведения плотности состояний ЧТС в анизотропном режиме, $TDOS(\omega) = -\frac{1}{\pi} \sum_{i=1}^4 \text{Im}\{G_{ii}^r(\omega)\}$. Для начала обратимся к изотропной ситуации. Соответствующая плотность состояний изображена на рис. 4а. При отсутствии кулоновских взаимодействий положения максимумов $TDOS(\omega)$ определяются энергиями собственных состояний

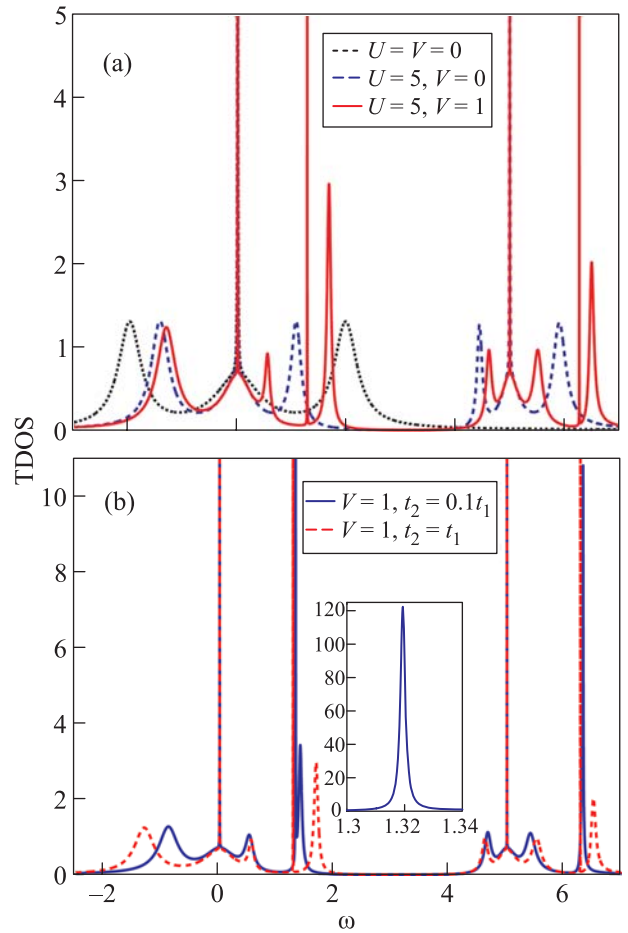


Рис. 4. (Цветной онлайн) (а) – Влияние кулоновских корреляций на связанные состояния в континууме (ССК) в плотности состояний изотропной ЧТС. (б) – Влияние анизотропии кинетических процессов в ЧТС на ССК. На вставке: пик, связанный с одним из ССК. Параметры: $\epsilon_D = 0$, другие параметры совпадают с использованными для рис. 3

гамильтониана $H_{QD}(U = V = 0)$ (см. пунктирную кривую на рис. 4а). Если $t_0 = \Delta = 0$, то имеются четыре уровня с энергиями: $\epsilon_D, \epsilon_D \pm 2t_1$. Как было показано в работах [28, 29], наличие вырождения приводит к возникновению ССК. В данном случае ССК соответствует узкий пик при $\omega = 0$, ширина которого определяется слагаемым $i\delta$ в $G_{ij}^r(\omega)$. В результате включения кулоновских взаимодействий внутри каждой точки появляются три новых максимума за счет расщепления одноэлектронных энергий возбуждения отдельной точки: $\epsilon_D, \epsilon_D + U$ (см. штриховую кривую на рис. 4а). Как следствие, появляется дополнительное ССК [30]. Учет кулоновских взаимодействий между центральными точками вызывает дополнительное расщепление одноэлектронных энергий возбуждения. Таким

образом, в плотности состояний появляются два новых максимума и два ССК (см. сплошную кривую на рис. 4а). Заметим, что полученные максимумы в плотности состояний являются причиной возникновения резонансов кондактанса в режиме линейного отклика (см. пунктирную кривую на рис. 2а). В частности, индуцирование асимметричных пиков Фано при $V \neq 0$ связано с появлением соответствующих максимумов в зависимости $TDOS(\omega)$ [25]. В свою очередь, ССК никак не проявляются в транспортных характеристиках ЧТС.

В анизотропной ситуации время жизни пары ССК, индуцированных кулоновскими корреляциями между точками, становится конечным. В результате появляются два узких пика конечной высоты (см. сплошную кривую на рис. 4б). При этом в кондактансе реализуются новые антирезонансы Фано. Один из них показан на вставке рис. 3а при $\epsilon_D \approx -6.5$ (см. пунктирную кривую). Ненулевое значение G объясняется влиянием температуры. Как уже было замечено выше, в неравновесном режиме резонансы кондактанса расщепляются. В этой ситуации рассматриваемый антирезонанс преобразуется в узкие максимум и минимум, где $G > 0$ и $G < 0$ соответственно, которые находятся на расстоянии примерно eV (на вставке рис. 3а сплошной кривой показаны основание узкого максимума и минимум при $eV \neq 0$). С ростом напряжения смещения минимум смещается вправо. Одновременно асимметричный пик Фано, возникающий при $V \neq 0$ в изотропном случае, сдвигается влево. Таким образом, усиление ОДП наблюдается, когда отмеченные резонансные особенности Фано находятся вблизи друг друга и взаимодействуют. Описанный сценарий реализуется и при заполнении ЧТС, меньшем половинного.

Заметим, что в работе [31], где по существу рассматривалась система из двух квантовых точек, связанных с контактами параллельно, эффект ОДП возникает за счет кулоновских корреляций именно в асимметричном контакте, когда неодинаковы в том числе и параметры туннельной связи точек с отдельным контактом. В нашем случае ОДП имеет место в режиме симметричной сильной связи ЧТС с контактами. При этом асимметрия кинетических процессов, приводящая к специфическому перераспределению заселенностей уровней ЧТС, является свойством самого устройства.

5. В настоящей работе исследовано влияние неравновесности на квантовый транспорт в системе из четырех квантовых точек с учетом кулоновских корреляций. Для нахождения выражения, описывающего электронный ток, применено сочетание

методов неравновесных функций Грина и уравнений движения. В последнем случае для получения замкнутой системы уравнений на функции Грина применена схема расщепления, развитая в работах [24–26] и базирующаяся на приближении Хаббард-I [32]. Численный анализ плотности состояний показал, что в системе имеются ССК, индуцированные кулоновскими взаимодействиями. Учет анизотропии кинетических процессов в ЧТС приводит к тому, что время жизни ССК, которые индуцированы корреляциями между электронами, находящимися в двух центральных точках, становится конечным. Возникающий в результате антирезонанс Фано в зависимости кондактанса от поля затвора смещается в неравновесном режиме. Взаимодействие этой особенности с другим асимметричным пиком Фано приводит к значительному усилению эффекта ОДП. Продемонстрировано, что соответствующее отношение пик/долина в ВАХ может быть увеличено за счет создания ненулевой разности одноэлектронных энергий двух центральных точек, а также при учете перескока между этими точками.

Мы благодарим П.И. Арсеева, Н.С. Маслову и В.Н. Манцевича за полезные дискуссии. Работа выполнена при поддержке Российского фонда фундаментальных исследований, правительства Красноярского края, Красноярского краевого фонда поддержки научной и научно-технической деятельности, проекты # 16-02-00073, 17-42-240441, 17-02-00135. С.В.А. выражает благодарность гранту Президента РФ # МК-3722.2018.2 за оказанную поддержку. М.Ю.К. благодарит Программу Академического Фонда Национального исследовательского университета Высшая школа экономики за 2017–2018 гг. (грант # 18-05-0024) и Российский проект академического совершенства “5-100”.

1. J. M. Elzerman, R. Hanson, J. S. Greidanus, L. H. Willem van Beveren, S. De Franceschi, L. M. K. Vandersypen, S. Tarucha, and L. P. Kouwenhoven, *Phys. Rev. B* **67**, 161308 (2003).
2. L. Gaudreau, S. A. Studenikin, A. S. Sachrajda, P. Zawadzki, A. Kam, J. Lapointe, M. Korkusinski, and P. Hawrylak, *Phys. Rev. Lett.* **97**, 036807 (2006).
3. D. Loss, and D. P. DiVincenzo, *Phys. Rev. A* **57**, 120 (1998).
4. F. H. L. Koppens, C. Buizert, K. J. Tielrooij, I. T. Vink, K. C. Nowack, T. Meunier, L. P. Kouwenhoven, and L. M. K. Vandersypen, *Nature* **442**, 766 (2006).
5. M. R. Delbecq, T. Nakajima, T. Otsuka, S. Amaha, J. D. Watson, M. J. Manfra, and S. Tarucha, *Appl. Phys. Lett.* **104**, 183111 (2014).

6. T. Ito, T. Otsuka, S. Amaha, M.R. Delbecq, T. Nakajima, J. Yoneda, K. Takeda, G. Allison, A. Noiri, K. Kawasaki, and S. Tarucha, *Sci. Rep.* **6**, 39113 (2016).
7. T. Byrnes, N.Y. Kim, K. Kusudo, and Y. Yamamoto, *Phys. Rev. B* **78**, 075320 (2008).
8. C.-Y. Hsieh, Y.-P. Shim, M. Korkusinski, and P. Hawrylak, *Rep. Prog. Phys.* **75**, 114501 (2012).
9. R. Thalineau, S. Hermelin, A.D. Wieck, C. Bauerle, L. Saminadayar, and T. Meunier, *Appl. Phys. Lett.* **101**, 103102 (2012).
10. T. A. Baart, N. Jovanovic, C. Reichl, W. Wegscheider, and L. M. K. Vandersypen, *Appl. Phys. Lett.* **109**, 043101 (2016).
11. A. Oguri, Y. Nisikawa, Y. Tanaka, and T. Numata, *J. Magn. Magn. Mater.* **310**, 1139 (2007).
12. P. Barthelemy and L. M. K. Vandersypen, *Ann. Phys.* **525**, 808 (2013).
13. I. Ozfidan, A.H. Trojnara, M. Korkusinski, and P. Hawrylak, *Solid State Comm.* **172**, 15 (2013).
14. A. C. Johnson, J. R. Petta, C. M. Marcus, M. P. Hanson, and A. C. Gossard, *Phys. Rev. B* **72**, 165308 (2005).
15. C.-Y. Hsieh, Y.-P. Shim, and P. Hawrylak, *Phys. Rev. B* **85**, 085309 (2012).
16. D. Weinmann, W. Hausler, and B. Kramer, *Phys. Rev. Lett.* **74**, 984 (1995).
17. D. Urban and J. Konig, *Phys. Rev. B* **79**, 165319 (2009).
18. B. Michaelis, C. Emary, and C.W.J. Beenakker, *Europhys. Lett.* **73**, 677 (2006).
19. C. Poltl, C. Emary, and T. Brandes, *Phys. Rev. B* **80**, 115313 (2009).
20. N.S. Maslova, V.N. Mantsevich, and P.I. Arseev, *J. Exp. Theor. Phys.* **122**, 1084 (2016).
21. D. Jacob, B. Wunsch, and D. Pfannkuche, *Phys. Rev. B* **70**, 081314(R) (2004).
22. D. Rogovin and D. J. Scalapino, *Ann. Phys. (N.Y.)* **86**, 1 (1974).
23. Л. В. Келдыш, *ЖЭТФ* **47**, 1515 (1964).
24. J. Q. You and H.-Z. Zheng, *Phys. Rev. B* **60**, 8727 (1999).
25. M. Yu. Kagan, V. V. Val'kov, and S. V. Aksenov, *Phys. Rev. B* **95**, 035411 (2017).
26. M. Yu. Kagan, V. V. Val'kov, and S. V. Aksenov, *J. Magn. Magn. Mat.* **440**, 15 (2017).
27. C. Lacroix, *J. Phys. F: Metal Phys.* **11**, 2389 (1981).
28. A. Volya and V. Zelevinsky, *Phys. Rev. C* **67**, 054322 (2003).
29. A. F. Sadreev, E. N. Bulgakov, and I. Rotter, *Phys. Rev. B* **73**, 235342 (2006).
30. A. F. Sadreev and T. V. Babushkina, *JETP Lett.* **88**, 360 (2008).
31. P. I. Arseev, N. S. Maslova, and V. N. Mantsevich, *ЖЭТФ* **142**, 156 (2012).
32. J. Hubbard, *Proc. R. Soc. London, Ser. A* **276**, 238 (1963).